Caractérisation de l'espace projectif

Stéphane Druel

arXiv:math/0308212v1 [math.AG] 22 Aug 2003

Introduction

Soit X une variété projective *normale*, de dimension $n \geq 2$, définie sur un corps algébriquement clos de caractéristique nulle. Un *feuilletage en courbes sur* X est la donnée d'un fibré en droites L sur X et d'une application non nulle $\eta : \Omega^1_{\mathrm{X}} \longrightarrow \mathrm{L}^{-1}$.

Le point de départ de notre travail est la caractérisation suivante de l'espace projectif $\mathbf{P}^n$. Si L est *ample* alors $\mathrm{L} \simeq \mathcal{O}_{\mathrm{X}}(\mathrm{Y})$, où $\mathrm{Y} \subset \mathrm{X}$ est un diviseur irréductible et normal, et X s'identifie à la contraction de la section de $\mathbf{P}_{\mathrm{Y}}(\mathcal{O}_{\mathrm{Y}} \oplus \mathcal{O}_{\mathrm{Y}}(-\mathrm{Y})) \longrightarrow \mathrm{Y}$ de fibré normal $\mathcal{O}_{\mathrm{Y}}(-\mathrm{Y})$ (*voir* [Wa83], Theorem 2). Si, de plus, X est lisse alors X est isomorphe à l'espace projectif $\mathbf{P}^n$ (*voir* [Wa83], Theorem 1).

Les techniques utilisées par Wahl relèvent de l'algèbre commutative. Nous donnons une démonstration nouvelle, de nature géométrique, de son résultat et d'un énoncé plus général.

Le *lieu singulier* du feuilletage (η, L) est le sous-schéma fermé $\mathrm{Z}(\eta, \mathrm{L})$ de X dont l'idéal est l'image de l'application induite $\Omega^1_{\mathrm{X}} \otimes \mathrm{L} \longrightarrow \mathcal{O}_{\mathrm{X}}$. Une courbe irréductible $\mathrm{C} \subset \mathrm{X}$ est appelée une *feuille* si $\mathrm{C} \not\subset \mathrm{Z}(\eta, \mathrm{L})$ et si la restriction $\eta_{|C}$ de η à C se factorise à travers l'application naturelle $\Omega^1_{\mathrm{X}|C} \longrightarrow \Omega^1_{\mathrm{C}}$.

Théorème.–*Soient* X *une variété projective normale, de dimension* ≥ 2*, définie sur un corps algébriquement clos de caractéristique nulle, et* (η, L) *un feuilletage en courbes sur* X*. Si* $\mathrm{L} \cdot \mathrm{C} > 0$ *pour toute courbe* $\mathrm{C} \subset \mathrm{X}$ *et si* $\mathrm{Z}(\eta, \mathrm{L}) \neq \emptyset$ *alors* $\mathrm{L} \simeq \mathcal{O}_{\mathrm{X}}(\mathrm{Y})$*, où* $\mathrm{Y} \subset \mathrm{X}$ *est un diviseur irréductible et normal, et* X *s'identifie à la contraction de la section du morphisme* $\mathbf{P}_{\mathrm{Y}}(\mathcal{O}_{\mathrm{Y}} \oplus \mathcal{O}_{\mathrm{Y}}(-\mathrm{Y})) \longrightarrow \mathrm{Y}$ *de fibré normal* $\mathcal{O}_{\mathrm{Y}}(-\mathrm{Y})$*.*

La preuve de ce résultat repose sur un critère d'algébricité des feuilles d'un feuilletage algébrique démontré de manière indépendante par Bost (*voir* [Bo01], Theorem 3.5) et Bogomolov-McQuillan (*voir* [BoMc01]). Si $\mathrm{Z}(\eta, \mathrm{L}) \neq \emptyset$, nous montrons que les feuilles du feuilletage (η, L) sont des courbes rationnelles passant par un même point de X.

Corollaire.–*Soient* X *une variété projective lisse de dimension* $n \geq 2$*, définie sur un corps algébriquement clos de caractéristique nulle, et* (η, L) *un feuilletage en courbes sur* X*. Si* $\mathrm{L} \cdot \mathrm{C} > 0$ *pour toute courbe* $\mathrm{C} \subset \mathrm{X}$*, alors ou bien* X *possède une fibration en droites projectives, ou bien* X *est isomorphe à l'espace projectif* $\mathbf{P}^n$*.*

Le dernier résultat est le suivant.

Proposition.−*Soient* X *une surface projective normale, définie sur un corps algébriquement clos de caractéristique nulle, et* (η, L) *un feuilletage en courbes sur* X. *Si* $\mathrm{L}\cdot\mathrm{C} > 0$ *pour toute courbe* $\mathrm{C} \subset \mathrm{X}$, *alors ou bien* X *est une surface géométriquement réglée, ou bien* X *vérifie les conclusions du théorème.*

1. Feuilletage

(1.1) Soit X une variété algébrique définie sur un corps k. Un *feuilletage en courbes sur* X est la donnée d'un fibré en droites L sur X et d'une application non nulle $\eta : \Omega^1_{\mathrm{X}} \longrightarrow \mathrm{L}^{-1}$. Son *lieu singulier* est le sous-schéma fermé $\mathrm{Z}(\eta, \mathrm{L})$ de X dont l'idéal est l'image de l'application induite $\Omega^1_{\mathrm{X}} \otimes \mathrm{L} \longrightarrow \mathcal{O}_{\mathrm{X}}$. Enfin, une courbe irréductible $\mathrm{C} \subset \mathrm{X}$ est appellée une *feuille* si $\mathrm{C} \not\subset \mathrm{Z}(\eta, \mathrm{L})$ et si la restriction $\eta_{|C}$ de η à C se factorise à travers l'application naturelle $\Omega^1_{\mathrm{X}|C} \longrightarrow \Omega^1_{\mathrm{C}}$, *i.e.*, s'il existe un diagramme commutatif

$$\begin{array}{ccc} \Omega^1_{\mathrm{X}|C} & \longrightarrow & \Omega^1_{\mathrm{C}} \\ {\scriptstyle \eta_{|C}}\downarrow & \swarrow & \\ \mathrm{L}^{-1}{}_{|\mathrm{C}} & & \end{array}$$

Lemme 1.2.−*Soient* X *une variété algébrique définie sur un corps* k *de caractéristique nulle et* (η, L) *un feuilletage en courbes sur* X. *Soit enfin* $n : \mathrm{X}^n \longrightarrow X$ *la normalisation de* X. *Il existe alors une unique application* $\eta_n : \Omega^1_{\mathrm{X}^n} \longrightarrow n^*\mathrm{L}^{-1}$ *factorisant* $n^*\eta : n^*\Omega^1_{\mathrm{X}} \longrightarrow n^*\mathrm{L}^{-1}$ *et, de plus,* $n^{-1}(\mathrm{Z}(\eta, \mathrm{L})_{\mathrm{red}}) \subset \mathrm{Z}(\eta_n, n^*\mathrm{L})_{\mathrm{red}}$.

Démonstration.−Soit $\mathrm{Spec}(\mathrm{A}) \subset \mathrm{X}$ un ouvert affine au dessus duquel le fibré L est trivial. Soit K le corps des fractions de A et $\bar{\mathrm{A}}$ la clôture intégrale de A dans K. Soit D_{A} la dérivation de A définissant le feuilletage sur l'ouvert considéré et soit D_{K} la dérivation de K correspondante. La dérivation D_{K} satisfait $\mathrm{D}_{\mathrm{K}}(\bar{\mathrm{A}}) \subset \bar{\mathrm{A}}$ (*voir* [Se66]) et c'est l'unique dérivation de $\bar{\mathrm{A}}$ induisant D_A sur A. La première assertion du lemme est alors immédiate.

Soit I l'idéal de $\mathrm{Z}(\eta, \mathrm{L}) \cap \mathrm{Spec}(\mathrm{A})$ dans A, et soit $\mathfrak{m} \supset \mathrm{I}$ un idéal maximal. Soit $\mathrm{J} := \mathfrak{m}\bar{A}$. Comme $\mathrm{D}_{\mathrm{A}}(\mathrm{A}) \subset \mathrm{I}$, $\mathrm{D}_{\mathrm{K}}(\mathrm{J}) \subset \mathrm{J}$ et $\mathrm{D}_{\mathrm{K}}(\sqrt{J}) \subset \sqrt{J}$. La dérivation D_{K} induit donc une dérivation de l'anneau $\bar{\mathrm{A}}/\sqrt{J}$. Le schéma $\mathrm{Spec}(\bar{\mathrm{A}}/\sqrt{J})$ est lisse sur k, la dérivation précédente est donc identiquement nulle et $\mathrm{D}_{\mathrm{K}}(\bar{\mathrm{A}}) \subset \sqrt{J}$. ■

Exemple 1.3.−Si le corps de base est $\mathbf{C}$ et si B est une courbe projective, lisse, de genre au moins 2, il existe un fibré vectoriel G de rang 2 et de degré 0 sur B dont toutes les puissances symétriques sont *stables*. Soit $\mathrm{S} = \mathbf{P}_{\mathrm{B}}(\mathrm{G})$ la surface réglée associée. Le fibré tangent relatif $\mathrm{T}_{\mathrm{S/B}} \subset \mathrm{T}_{\mathrm{S}}$ est alors de degré > 0 sur toutes les courbes de S (*voir* [Ha70], Example 10.6).

2. Feuilletage sur les surfaces

Le résultat de cette section est la proposition suivante.

Proposition 2.1.−*Soient* S *une surface normale,* B *une courbe projective lisse et* $p_S : S \longrightarrow B$ *un morphisme à fibres connexes. Soit* F *une fibre générale de* p_S. *Soit* S′ *une surface algébrique et* $q_S : S \longrightarrow S'$ *un morphisme dominant. Soit* (η_S, L_S) *un feuilletage en courbes sur* S. *Supposons le fibré* L_S *numériquement effectif et supposons qu'une courbe* $C \subset S$ *est contractée par* q_S *si et seulement si* $L_S \cdot C = 0$. *Supposons enfin que les courbes tracées sur* S *et contractées par* q_S *sont horizontales relativement à* p_S. *Sous ces hypothèses, la surface* $S \longrightarrow B$ *est géométriquement réglée, le feuilletage vertical et* $L_S \cdot F \in \{1, 2\}$. *Si* $L_S \cdot F = 2$ *alors le feuilletage est régulier et le morphisme* q_S *fini. Si* $L_S \cdot F = 1$, *alors le lieu singulier du feuilletage est l'unique section de* p_S *contractée par* q_S.

Démonstration.−L'application composée

$$N^*_{F/S} \simeq \mathcal{O}_F \longrightarrow \Omega^1_{S|F} \longrightarrow (L_S^{-1})_{|F}$$

est identiquement nulle car $L_S \cdot F > 0$ et il existe donc une factorisation $\Omega^1_F \longrightarrow (L_S^{-1})_{|F}$. Les fibres générales de p_S sont donc des courbes rationnelles lisses et $L_S \cdot F \in \{1, 2\}$.

1^{er} cas : $L_S \cdot F = 1$.−Les fibres de p_S sont irréductibles et génériquement réduites. La surface $S \longrightarrow B$ est donc géométriquement réglée.

Soit G un fibré de rang 2 sur B, *normalisé*, de sorte que $S = \mathbf{P}_B(G)$ (*voir* [Ha77]). Notons $C_0 \subset S$ une section de p_S telle que $\mathcal{O}_S(C_0)$ soit isomorphe au fibré tautologique $\mathcal{O}_S(1)$. Le groupe Num(S) est libre de rang 2 et engendré par les classes de C_0 et F. Le produit d'intersection est donné par les formules $F^2 = 0$, $C_0 \cdot F = 1$ et $C_0^2 = -e = \deg(G)$.

L'application composée

$$p_S^*\Omega^1_B \xrightarrow{dp_S} \Omega^1_S \xrightarrow{\eta_S} L_S^{-1}$$

est nulle sur les fibres générales de p_S et donc identiquement nulle. Le feuilletage (η_S, L_S) est donc vertical relativement à p_S, autrement dit, il existe une factorisation

$$\begin{array}{ccc} \Omega^1_S & \longrightarrow & \Omega^1_{S/B} \\ \downarrow{\scriptstyle \eta_S} & \swarrow & \\ L_S^{-1} & & \end{array}$$

ou encore, des inclusions $L_S \subset T_{S/B} \subset T_S$. Il existe donc un diviseur effectif $D_S \subset S$ tel que $T_{S/B} = L_S(D_S)$ et $D_S \cdot F = 1$.

Soit $C_0 + bF$ la classe de D_S dans Num(S). La classe de L_S dans Num(S) est donc $C_0 + (e-b)F$ et

$$L_S \cdot D_S = (C_0 + (e-b)F) \cdot (C_0 + bF) = -e + b + (e-b) = 0.$$

Si D_S^h est la composante horizontale de D_S et D_S^v sa composante verticale, alors

$$0 = L_S \cdot D_S = L_S \cdot D_S^h + L_S \cdot D_S^v$$

et, puisque $\mathrm{L_S}$ est numériquement effectif,

$$\mathrm{L_S} \cdot \mathrm{D_S^h} = \mathrm{L_S} \cdot \mathrm{D_S^v} = 0$$

et

$$\mathrm{D_S^v} = 0.$$

Le lieu singulier $\mathrm{D_S}$ du feuilletage $(\eta_{\mathrm{S}}, \mathrm{L_S})$ est donc une section de p_{S} contractée par q_{S}. L'unicité d'une telle section est bien connue.

$2^{\text{ème}}$ cas : $\mathrm{L_S} \cdot \mathrm{F} = 2$.−Il existe une résolution *minimale* et *équivariante* $d : \mathrm{S_1} \longrightarrow \mathrm{S}$ des singularités de S (*voir* [BuWa74], Proposition 1.2). Notons $\eta_1 : \Omega^1_{\mathrm{S_1}} \longrightarrow d^*\mathrm{L_S^{-1}}$ le relèvement de $\eta_{\mathrm{S}} : \Omega^1_{\mathrm{S}} \longrightarrow \mathrm{L_S^{-1}}$ à $\mathrm{S_1}$ (*voir* Lemme 1.2).

Le genre de B est ≥ 1 et il n'y a donc pas de (-1)-courbe sur $\mathrm{S_1}$ dominant B. Supposons que la surface $\mathrm{S_1}$ ne soit pas minimale. Son modèle minimal est une surface géométriquement réglée S_k et s'obtient à partir de $\mathrm{S_1}$ en contractant des (-1)-courbes dans les fibres de p_1

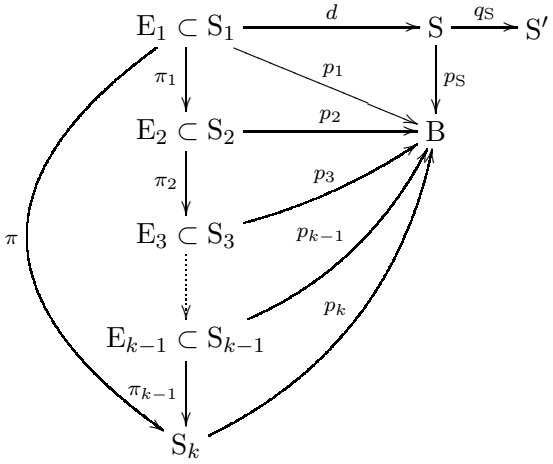

Le morphisme π_i est l'éclatement d'un point de S_{i+1}, de lieu exceptionnel $\mathrm{E}_i \subset \mathrm{S}_i$. Notons $\mathrm{L_1} = d^*\mathrm{L}_S$. Le fibré $\mathrm{L_1}$ est numériquement effectif et $\mathrm{L_1} \cdot \mathrm{F} = \mathrm{L_S} \cdot \mathrm{F} = 2$. Il existe un fibré $\mathrm{L_2}$ sur $\mathrm{S_2}$ et un entier $j_1 \in \mathbf{Z}$ tels que $\mathrm{L_1} = \pi_1^*\mathrm{L_2}(j_1\mathrm{E_1})$. Comme $\mathrm{L_1}$ est numériquement effectif, $j_1 \leq 0$ et $\mathrm{L_2}$ est également numériquement effectif. L'inclusion $\mathrm{T_{S_1}} \longrightarrow \pi_1^*\mathrm{T_{S_2}}$ donne les inclusions

$$0 \longrightarrow \mathrm{T_{S_1}} \otimes \mathrm{L_1^{-1}} \longrightarrow \pi_1^*(\mathrm{T_{S_2}} \otimes \mathrm{L_2^{-1}})(-j_1\mathrm{E_1})$$

et

$$0 \longrightarrow \pi_{1*}(\mathrm{T_{S_1}} \otimes \mathrm{L_1^{-1}}) \longrightarrow \mathrm{T_{S_2}} \otimes \mathrm{L_2^{-1}}$$

puisque $\pi_{1*}\mathcal{O}_{\mathrm{S_1}}(-j_1\mathrm{E_1}) = \mathcal{O}_{\mathrm{S_2}}$. En particulier, $\mathrm{H^0(S_1, T_{S_1} \otimes L_1^{-1}) \subset H^0(S_2, T_{S_2} \otimes L_2^{-1})}$. L'argument précédent montre qu'il existe, pour tout $2 \leq i \leq k$, des fibrés numériquement effectifs L_i sur S_i et des entiers $j_i \leq 0$ tels que

$$\mathrm{L}_i = \pi^*\mathrm{L}_{i+1}(j_i\mathrm{E}_i)$$

et

$$\mathrm{H^0(S_{i-1}, T_{S_{i-1}} \otimes L_{i-1}^{-1}) \subset H^0(S_i, T_{S_i} \otimes L_i^{-1})}.$$

D'où

$$\mathrm{L}_1 = \pi^*\mathrm{L}_k(-\mathrm{E})$$

où E est un diviseur effectif et π-exceptionnel. Soit enfin η_k l'image de $\eta_1 \in \mathrm{H}^0(\mathrm{S}_1, \mathrm{T}_{\mathrm{S}_1} \otimes \mathrm{L}_1^{-1})$ dans $\mathrm{H}^0(\mathrm{S}_k, \mathrm{T}_{\mathrm{S}_k} \otimes \mathrm{L}_k^{-1})$.

Soit G un fibré de rang 2 sur B, *normalisé*, de sorte que $\mathrm{S}_k = \mathbf{P}_{\mathrm{B}}(\mathrm{G})$. Notons $\mathrm{C}_0 \subset \mathrm{S}_k$ une section de p_k telle que $\mathcal{O}_{\mathrm{S}_k}(\mathrm{C}_0)$ soit isomorphe au fibré tautologique $\mathcal{O}_{\mathrm{S}_k}(1)$. Soit $e = -\deg(\mathrm{G})$.

L'application composée

$$p_k^*\Omega^1_{\mathrm{B}} \xrightarrow{dp_k} \Omega^1_{\mathrm{S}_k} \xrightarrow{\eta_k} \mathrm{L}_k^{-1}$$

est nulle sur les fibres générales de p_k et donc identiquement nulle. Le feuilletage (η_k, L_k) est donc vertical relativement à p_k, autrement dit, il existe une factorisation

$$\begin{array}{ccc} \Omega^1_{\mathrm{S}_k} & \longrightarrow & \Omega^1_{\mathrm{S}_k/\mathrm{B}} \\ \downarrow{\scriptstyle \eta_k} & \swarrow & \\ \mathrm{L}_k^{-1} & & \end{array}$$

ou encore, des inclusions $\mathrm{L}_k \subset \mathrm{T}_{\mathrm{S}_k/\mathrm{B}} \subset \mathrm{T}_{\mathrm{S}_k}$. Il existe donc un diviseur effectif $\mathrm{D}_k \subset \mathrm{S}_k$ tel que $\mathrm{T}_{\mathrm{S}_k/\mathrm{B}} = \mathrm{L}_k(\mathrm{D}_k)$. Enfin, $\mathrm{L}_k \cdot \mathrm{F} = 2$.

Le fibré tangent relatif $\mathrm{T}_{\mathrm{S}_k/\mathrm{B}}$ est de degré 2 sur la fibre F et D_k est donc vertical relativement à p_k. La classe de $\mathrm{T}_{\mathrm{S}_k/\mathrm{B}}$ dans $\mathrm{Num}(\mathrm{S}_k)$ est $2\mathrm{C}_0 + e\mathrm{F}$ et la classe de L_k est donc $2\mathrm{C}_0 + (e-\alpha)\mathrm{F}$ où $\alpha = \mathrm{D}_k \cdot \mathrm{C}_0 \geq 0$. Le nombre $\mathrm{L}_k^2 = -4\alpha$ est donc ≤ 0 d'une part et ≥ 0 d'autre part puisque L_k est numériquement effectif, et donc nul. D'où

$$\mathrm{D}_k = 0 \text{ et } \mathrm{L}_k \equiv 2\mathrm{C}_0 + e\mathrm{F}.$$

La relation $\mathrm{L}_1 = \pi^*\mathrm{L}_k(-\mathrm{E})$ donne $\mathrm{L}_1^2 = \mathrm{L}_k^2 + \mathrm{E}^2 = \mathrm{E}^2$. Le premier de ces deux nombres est ≥ 0 puisque L_1 est numériquement effectif et le second est ≤ 0 puisque E est π-exceptionnel. D'où

$$\mathrm{E} = 0 \text{ et } \mathrm{L}_1 \cdot \mathrm{E}_1 = \pi^*\mathrm{L}_k \cdot \mathrm{E}_1 = 0.$$

La (-1)-courbe E_1 est donc contractée par $q_{\mathrm{S}} \circ d$ mais ne l'est pas par d, par minimalité de la résolution $d : \mathrm{S}_1 \longrightarrow \mathrm{S}^n$. La courbe $d(\mathrm{E}_1)$ n'est pas contractée par q_{S} car elle est verticale relativement à p_1. La surface S_1 est donc minimale et, par ce qui précéde, L_1 est isomorphe au fibré tangent relatif $\mathrm{T}_{\mathrm{S}_1/\mathrm{B}}$.

Supposons qu'il existe une courbe irréductible $\mathrm{C} \subset \mathrm{S}_1$ qui soit contractée par $q_{\mathrm{S}} \circ d$. Soit $a\mathrm{C}_0 + b\mathrm{F}$ sa classe dans $\mathrm{Num}(\mathrm{S}_1)$,

$$\mathrm{L}_1 \cdot \mathrm{C} = 2b - ae \text{ et } \mathrm{C}^2 = a(2b - ae).$$

Le premier de ces deux nombres doit être nul si C est contractée par $q_{\mathrm{S}} \circ d$ et le second strictement négatif, ce qui est absurde. La surface S est donc lisse, et le morphisme q_{S} est fini. Enfin, le feuilletage $(\eta_{\mathrm{S}}, \mathrm{L}_{\mathrm{S}})$ sur S est régulier. ■

3. Fibrés projectifs

(**3.1**) Soit Y une variété algébrique définie sur un corps algébriquement clos. Soit G un fibré vectoriel de rang 2 sur Y, extension d'un fibré en droites M par le fibré trivial $\mathcal{O}_{\mathrm{Y}}$,

$$0 \longrightarrow \mathcal{O}_{\mathrm{Y}} \longrightarrow \mathrm{G} \longrightarrow \mathrm{M} \longrightarrow 0.$$

Soit α la classe dans $\mathrm{H}^1(\Sigma, \mathrm{M}^{-1})$ de cette extension. Soient $\mathrm{Z} := \mathbf{P}_{\mathrm{Y}}(\mathrm{G})$ et $p : \mathrm{Z} \longrightarrow \mathrm{Y}$ le morphisme naturel. Soit Σ la section de p correspondant au quotient inversible M de G. L'idéal de Σ dans Z s'identifie au fibré $\mathcal{O}_{\mathrm{Z}}(-1)$.

Soit 2Σ le deuxième voisinage infinitésimal de Σ dans Z, c'est-à-dire, le sous-schéma fermé de Z défini par l'idéal $\mathrm{I}^2_{\Sigma/\mathrm{Z}}$.

Lemme 3.2.−*Il existe un isomorphisme* $\mathrm{Pic}(2\Sigma) \simeq \mathrm{Pic}(\Sigma) \oplus \mathrm{H}^1(\Sigma, \mathrm{M}^{-1})$.

Démonstration.−Le morphisme p induit une rétraction de l'inclusion $\Sigma \subset 2\Sigma$. La suite exacte courte

$$0 \longrightarrow \mathrm{M}^{-1} \simeq \mathrm{I}_{\Sigma/\mathrm{Z}}/\mathrm{I}^2_{\Sigma/\mathrm{Z}} \longrightarrow \mathcal{O}^{\times}_{2\Sigma} \longrightarrow \mathcal{O}^{\times}_{\Sigma} \longrightarrow 0$$

donne la suite exacte de cohomologie

$$0 \longrightarrow \mathrm{H}^1(\Sigma, \mathrm{M}^{-1}) \longrightarrow \mathrm{H}^1(\Sigma, \mathcal{O}^{\times}_{2\Sigma}) \longrightarrow \mathrm{H}^1(\Sigma, \mathcal{O}^{\times}_{\Sigma}).$$

La rétraction $2\Sigma \longrightarrow \Sigma$ induit en cohomologie une section de $\mathrm{H}^1(\Sigma, \mathcal{O}^{\times}_{2\Sigma}) \longrightarrow \mathrm{H}^1(\Sigma, \mathcal{O}^{\times}_{\Sigma})$ et, finalement,

$$\mathrm{Pic}(2\Sigma) \simeq \mathrm{Pic}(\Sigma) \oplus \mathrm{H}^1(\Sigma, \mathrm{M}^{-1}).$$

■

Le point suivant a été observé par Schröer.

Lemme 3.3 (*voir* [Sc00], Example 5.6).−*La classe du fibré* $\mathcal{O}_{\mathrm{Z}}(1) \otimes p^*\mathrm{M}^{-1}$ *dans* $\mathrm{Pic}(2\Sigma)$ *est* $(0, \alpha)$.

Démonstration.−La classe du fibré $\mathcal{O}_{\mathrm{Z}}(1) \otimes p^*\mathrm{M}^{-1}$ dans $\mathrm{Pic}(\Sigma)$ est nulle. Soit U_i un recouvrement par des ouverts affines de $\Sigma \simeq \mathrm{Y}$ trivialisant le fibré M. Soit M_i la restriction de M à U_i et $s_i \in \mathrm{H}^0(\mathrm{U}_i, \mathrm{M}_i)$ une section partout non nulle. Soient $\psi_i : \mathrm{M}_i \longrightarrow \mathcal{O}_i$ la trivialisation de M_i induite par s_i et $f_{ij} = \psi_i \circ \psi_j^{-1}$ les fonctions de transitions du fibré M_i sur les ouverts $\mathrm{U}_{ij} := \mathrm{U}_i \cap \mathrm{U}_j$. Soit G_i la restriction de G à U_i et fixons un isomorphisme $\varphi_i : \mathrm{G}_i \longrightarrow \mathcal{O}_i \oplus \mathrm{M}_i$ rendant le diagramme suivant commutatif

$$\begin{array}{ccccccccc}
0 & \longrightarrow & \mathcal{O}_i & \longrightarrow & \mathrm{G}_i & \longrightarrow & \mathrm{M}_i & \longrightarrow & 0 \\
 & & \| & & \downarrow{\scriptstyle \varphi_i} & & \downarrow{\scriptstyle \psi_i} & & \\
0 & \longrightarrow & \mathcal{O}_i & \longrightarrow & \mathcal{O}_i \oplus \mathcal{O}_i & \longrightarrow & \mathcal{O}_i & \longrightarrow & 0
\end{array}$$

Les fonctions de transitions $\varphi_i \circ \varphi_j^{-1}$, sur les ouverts U_{ij}, du fibré G sont de la forme

$$\begin{pmatrix} 1 & g_{ij} \\ 0 & f_{ij} \end{pmatrix}$$

Soit s_i^* la section duale de s_i sur U_i et posons, pour tout (i,j), $\alpha_{ij} = g_{ij} s^*_{j\,|U_{ij}} = \frac{g_{ij}}{f_{ij}} s^*_{i\,|U_{ij}}$. La classe $\alpha \in \mathrm{H}^1(\Sigma, \mathrm{M}^{-1})$ est alors representée par le cocycle (α_{ij}).

Il reste à faire le calcul des fonctions de transitions du fibré $\mathcal{O}_{\mathrm{Z}}(1)$ au voisinage de la section Σ. Posons $\mathrm{Z}_i = p^{-1}(\mathrm{U}_i)$ et $\mathrm{Z}_{ij} := \mathrm{Z}_i \cap \mathrm{Z}_j$. Notons $\hat{s}_i = \varphi_i^{-1}(0,1)$ la section de $\mathcal{O}_{\mathrm{Z}}(1)$ au dessus de l'ouvert Z_i. Sur $\mathrm{Z}_i \cap \{\hat{s}_i \neq 0\}$, $\varphi_i^{-1}(1,0) = t_i \hat{s}_i$, où t_i est une fonction régulière sur l'ouvert considéré. Sur $\mathrm{Z}_{ij} \cap \{\hat{s}_i \neq 0\}$,

$$\hat{s}_j = (p^* f_{ij} + p^* g_{ij} t_i)\hat{s}_i.$$

Notons que les ouverts $\mathrm{Z}_i \cap \{\hat{s}_i \neq 0\}$ de Z recouvrent Σ. Les fonctions de transitions h_{ij} du fibré tautologique sur les ouverts $(\mathrm{Z}_i \cap \{\hat{s}_i \neq 0\}) \cap (\mathrm{Z}_j \cap \{\hat{s}_j \neq 0\})$ sont donc données par la formule

$$\frac{h_{ij}}{p^* f_{ij}} = 1 + \frac{p^* g_{ij}}{p^* f_{ij}} t_i.$$

Il reste à remarquer que le fermé Σ est défini, sur l'ouvert $\mathrm{Z}_i \cap \{\hat{s}_i \neq 0\}$, par l'annulation de la fonction t_i. ■

4. Démonstration des résultats

(4.1) Soient X une variété projective *normale*, de dimension $n \geq 2$, définie sur un corps k algébriquement clos de caractéristique nulle, et (η, L) un feuilletage en courbes sur X. Supposons $\mathrm{L} \cdot \mathrm{C} > 0$ pour toute courbe $\mathrm{C} \subset \mathrm{X}$.

(4.2) *Existence de feuilles algébriques.*—Notons X_s le lieu singulier de X et X_{ns} le complémentaire de X_s dans X. Soit D^{ns}_{sat} le diviseur des composantes de codimension 1, comptées avec multiplicités, de $\mathrm{Z}(\eta, \mathrm{L}) \cap \mathrm{X}_{ns}$ et D_{sat} l'adhérence de son *support* dans X. Notons $\eta^{ns}_{sat} : \Omega^1_{\mathrm{X}_{ns}} \longrightarrow \mathrm{L}^{-1}{}_{|\mathrm{X}_{ns}}(-\mathrm{D}^{ns}_{sat})$ le feuilletage induit : le lieu $\mathrm{Z}(\eta^{ns}_{sat}, \mathrm{L}_{\mathrm{X}_{ns}}(\mathrm{D}^{ns}_{sat}))$ des zéros de η^{ns}_{sat} est de codimension au moins 2 dans X_{ns}. Notons enfin X_r le complémentaire dans X de $\overline{\mathrm{Z}(\eta^{ns}_{sat}, \mathrm{L}_{|\mathrm{X}_{ns}}(\mathrm{D}^{ns}_{sat}))_{red}} \cup \overline{\mathrm{Z}(\eta, \mathrm{L})_{red} - \mathrm{D}_{sat}}$. Remarquons enfin que le fermé $\mathrm{X} - \mathrm{X}_r$ est de codimension au moins 2 dans X.

Le fermé $\mathrm{X} - (\mathrm{X}_{ns} \cap \mathrm{X}_r)$ est de codimension au moins 2 dans X. Il existe donc une courbe projective lisse $\mathrm{B} \subset \mathrm{X}_{ns} \cap \mathrm{X}_r$ telle que

- B n'est pas une feuille du feuilletage $(\eta^{ns}_{sat}, \mathrm{L}_{|\mathrm{X}_{ns}}(\mathrm{D}^{ns}_{sat}))$,
- $\mathrm{B} \not\subset \mathrm{D}_{sat}$.

Notons $\Gamma_{\mathrm{B}} \subset \mathrm{B} \times (\mathrm{X}_{ns} \cap \mathrm{X}_r) \subset \mathrm{B} \times \mathrm{X}$ le graphe de $\mathrm{B} \subset \mathrm{X}$. Notons p et q les projections de $\mathrm{B} \times \mathrm{X}$ sur B et X respectivement, p_{ns} et q_{ns} leurs restrictions à $\mathrm{B} \times \mathrm{X}_{ns}$. Le feuilletage $(\eta^{ns}_{sat}, \mathrm{L}_{|\mathrm{X}_{ns}}(\mathrm{D}^{ns}_{sat}))$ induit un feuilletage sur $\mathrm{B} \times \mathrm{X}_{ns}$,

$$\Omega^1_{\mathrm{B}\times\mathrm{X}_{ns}} = p^*_{ns}\Omega^1_{\mathrm{B}} \oplus q^*_{ns}\Omega^1_{\mathrm{X}_{ns}} \longrightarrow q^*_{ns}\Omega^1_{\mathrm{X}_{ns}} \longrightarrow q^*_{ns}\mathrm{L}^{-1}{}_{|\mathrm{X}_{ns}}(-\mathrm{D}^{ns}_{sat}).$$

Ce feuilletage est partout non nul le long de Γ_{B} et Γ_{B} ne lui est tangente en aucun point. Par le théorème de Frobenius formel (*voir* [Mi87]), il existe un sous-schéma formel $\widehat{\mathrm{V}}$ lisse de dimension 2 du complété formel $\widehat{\mathrm{B} \times \mathrm{X}}_{ns}$ de $\mathrm{B} \times \mathrm{X}_{ns}$ le long de Γ_{B} admettant Γ_{B} comme schéma de

définition. Le fibré normal $\mathrm{N}_{\Gamma_B/\widehat{\mathrm{V}}}$ de Γ_B dans $\widehat{\mathrm{V}}$ est naturellement isomorphe à la restriction de $q_{ns}^*\mathrm{L}_{|\mathrm{X}_{ns}}(\mathrm{D}_{sat}^{ns})$ à Γ_B et en particulier ample. Le schéma formel $\widehat{\mathrm{V}}$ est donc algébrique (*voir* [Bo01], Theorem 3.5), autrement dit, il existe une surface $\mathrm{S} \subset \mathrm{B} \times \mathrm{X}$, irréductible et réduite, telle que $\Gamma_\mathrm{B} \subset \mathrm{S}$ et $\widehat{\mathrm{V}} \subset \widehat{\mathrm{S}}$ où $\widehat{\mathrm{S}}$ est le complété formel de S le long de Γ_B.

Notons q_S la restriction de q à S. Les germes de feuilles du feuilletage $(\eta_\mathrm{S}, q_\mathrm{S}^*\mathrm{L})$, aux points de $\Gamma_\mathrm{B} \subset \mathrm{S}$, sont donc algébriques et les images desdites feuilles par q_S sont des feuilles du feuilletage $(\eta_{sat}^{ns}, \mathrm{L}_{|\mathrm{X}_{ns}}(\mathrm{D}_{sat}^{ns}))$ sur X_{ns} et, sauf éventuellement un nombre fini, des feuilles du feuilletage (η, L) sur X, puisque $\mathrm{B} \not\subset \mathrm{D}_{sat}$.

Remarque 4.3.−Supposons $\mathrm{H}^0(\mathrm{X}, \mathrm{L}) \neq 0$. Soit $\mathrm{Y} \in |\mathrm{L}|$ et soit G la composante neutre du groupe des automorphismes de X fixant Y points par points. Le groupe G est algébrique et son algèbre de Lie $\mathrm{H}^0(\mathrm{X}, \Theta_\mathrm{X}(-\mathrm{Y}))$ est, par hypothèse, de dimension > 0. Soit G_0 un sous-groupe fermé, affine et connexe de G, distingué dans G et maximal pour ces propriétés. Le quotient G/G_0 est alors une variété abélienne par le théorème de Chevalley. Supposons le groupe G_0 réduit à l'identité. Le diviseur Y rencontre, par hypothèse, toutes les courbes tracées sur X. Les orbites sous G non réduites à un point sont compactes et rencontrent donc le lieu des points fixes sous G, ce qui est absurde. Il existe donc un sous-groupe affine de G isomorphe à $\mathbf{G}_a$ ou $\mathbf{G}_m$ et les orbites sous ce sous-groupe sont les feuilles d'un feuilletage en courbes, éventuellement distinct du feuilletage considéré.

(**4.4**) *La variété des feuilles.*−Soit $\bar{\mathrm{Y}}$ l'adhérence du lieu des points du schéma de Hilbert de X correspondants aux feuilles du feuilletage (η, L) et soit $\bar{\mathrm{Z}} \subset \bar{\mathrm{Y}} \times \mathrm{X}$ la famille universelle. Notons p et q les projections de $\bar{\mathrm{Y}} \times \mathrm{X}$ sur $\bar{\mathrm{Y}}$ et X respectivement, et $p_{\bar{\mathrm{Z}}}$, $q_{\bar{\mathrm{Z}}}$ leurs restrictions à $\bar{\mathrm{Z}}$. Le schéma $\bar{\mathrm{Y}}$ a un nombre au plus dénombrable de composantes irréductibles, toutes de type fini sur le corps de base infini k. Le lieu des feuilles du feuilletage (η, L) rencontrant l'ouvert $\mathrm{X}_{ns} \cap \mathrm{X}_r - \mathrm{D}_{sat}$ n'étant pas réunion au plus dénombrable de fermés propres de X, il existe une composante irréductible Y de $\bar{\mathrm{Y}}$ telle que la restriction de $q_{\bar{\mathrm{Z}}}$ à la famille universelle correspondante soit un morphisme dominant. Soient $\mathrm{Z} \subset \mathrm{Y} \times \mathrm{X}$ la famille universelle, p_Z et q_Z, les morphismes naturels vers Y et X respectivement

$$\begin{array}{ccc} \mathrm{Z} & \xrightarrow{q_\mathrm{Z}} & \mathrm{X} \\ {\scriptstyle p_\mathrm{Z}}\downarrow & & \\ \mathrm{Y} & & \end{array}$$

Lemme 4.5.−*Soient* Z *et* Y *deux schémas de type fini sur un corps* k *et* $p : \mathrm{Z} \longrightarrow \mathrm{Y}$ *un morphisme sur* k*, propre et plat. Si* Y *est intègre et si l'une des fibres de* p *est géométriquement intègre, alors* Z *est intègre.*

Démonstration.−L'irréductibilité de Z est bien connue. Il reste à vérifier que Z est réduit. Le lieu des points $y \in \mathrm{Y}$ tel que $p^{-1}(y)$ soit géométriquement intègre est ouvert dans Y et non

vide par hypothèse. La fibre générique est donc géométriquement intègre. Soient $\mathrm{Spec(B)} \subset \mathrm{Z}$ et $\mathrm{Spec(A)} \subset \mathrm{Z}$ deux ouverts affines non vides tels que $p(\mathrm{Spec(B)}) \subset \mathrm{Spec(A)}$. L'anneau B est plat sur A, par hypothèse. Si $b \in \mathrm{B}$ est nilpotent alors, comme la fibre générique est intègre, il existe $a \in \mathrm{A}$ non nul, tel que $ab = 0$. L'élément a est non diviseur de zéro dans A et donc dans B, et $b = 0$. ■

La famille universelle Z est donc intègre par le lemme précédent. Le feuilletage (η, L) sur X induit un feuilletage sur $\mathrm{Y} \times \mathrm{X}$

$$\Omega^1_{\mathrm{Y}\times\mathrm{X}} = p^*\Omega^1_{\mathrm{Y}} \oplus q^*\Omega^1_{\mathrm{X}} \longrightarrow q^*\Omega^1_{\mathrm{X}} \longrightarrow q^*\mathrm{L}^{-1}.$$

L'application composée

$$\mathrm{I}_{\mathrm{Z}/\mathrm{Y}\times\mathrm{X}}/\mathrm{I}^2_{\mathrm{Z}/\mathrm{Y}\times\mathrm{X}} \longrightarrow \Omega^1_{\mathrm{Y}\times\mathrm{X}|\mathrm{Z}} \longrightarrow q^*\mathrm{L}^{-1}{}_{|\mathrm{Z}}$$

est nulle sur une partie dense de Z et donc identiquement nulle puisque le faisceau $q^*\mathrm{L}^{-1}{}_{|\mathrm{Z}}$ est sans torsion. Il existe donc une factorisation $\eta_{\mathrm{Z}} : \Omega^1_{\mathrm{Z}} \longrightarrow q^*\mathrm{L}^{-1}_{|\mathrm{Z}}$ et un diagramme commutatif

$$\begin{array}{ccc} \Omega^1_{\mathrm{Y}\times\mathrm{X}|\mathrm{Z}} & \longrightarrow & \Omega^1_{\mathrm{Z}} \\ \downarrow & \swarrow_{\eta_{\mathrm{Z}}} & \\ q^*\mathrm{L}^{-1}{}_{|\mathrm{Z}} & & \end{array}$$

Le lieu singulier $\mathrm{Z}(\eta_{\mathrm{Z}}, q^*_{\mathrm{Z}}\mathrm{L})$ est intersection schématique des fermés $\mathrm{Y} \times \mathrm{Z}(\eta, \mathrm{L})$ et Z de $\mathrm{Y} \times \mathrm{X}$. L'application composée

$$p^*_{\mathrm{Z}}\Omega^1_{\mathrm{Y}} \longrightarrow \Omega^1_{\mathrm{Z}} \longrightarrow q^*_{\mathrm{Z}}\mathrm{L}^{-1}$$

est nulle sur les fibres générales de p_{Z} et donc identiquement nulle. Le feuilletage $(\eta_{\mathrm{Z}}, q^*_{\mathrm{Z}}\mathrm{L})$ est donc vertical relativement à p_{Z}, autrement dit, il existe une factorisation

$$\begin{array}{ccc} \Omega^1_{\mathrm{Z}} & \longrightarrow & \Omega^1_{\mathrm{Z}/\mathrm{Y}} \\ \downarrow{\scriptstyle \eta_{\mathrm{Z}}} & \swarrow & \\ q^*_{\mathrm{Z}}\mathrm{L}^{-1} & & \end{array}$$

Le morphisme q_{Z} est donc birationnel.

(**4.6**) *Réduction au cas des surfaces.*−Soient B une courbe projective, lisse et connexe, de genre $g(\mathrm{B}) > 0$ et $\mathrm{B} \longrightarrow \mathrm{Y}$ un morphisme non constant, dont l'image rencontre le lieu des feuilles, de sorte que η_{Z} est non identiquement nulle le long d'au moins une fibre de p_{Z} au dessus de B. Soit $\mathrm{S} := \mathrm{B} \times_{\mathrm{Y}} \mathrm{Z} \subset \mathrm{B} \times \mathrm{X}$; S est une surface irréductible et réduite (*voir* Lemme 4.5). Soient p_S et q_S les restrictions à S des projections de $\mathrm{B} \times \mathrm{X}$ sur B et X respectivement. Le feuilletage (η, L) induit, comme ci-dessus, un feuilletage en courbes $\eta_{\mathrm{S}} : \Omega^1_{\mathrm{S}} \longrightarrow q^*_{\mathrm{S}}\mathrm{L}^{-1}$. Le lieu singulier $\mathrm{Z}(\eta_{\mathrm{S}}, q^*_{\mathrm{S}}\mathrm{L})$ est intersection schématique des fermés $\mathrm{B} \times \mathrm{Z}(\eta, \mathrm{L})$ et S de $\mathrm{B} \times \mathrm{X}$. Soit L_{S} le fibré $q^*_{\mathrm{S}}\mathrm{L}$. Soit $n : \mathrm{S}^n \longrightarrow \mathrm{S}$ la normalisation de S et $\eta_n : \Omega^1_{\mathrm{S}^n} \longrightarrow n^*\mathrm{L}^{-1}_{\mathrm{S}}$ le relèvement de $\eta_{\mathrm{S}} : \Omega^1_{\mathrm{S}} \longrightarrow \mathrm{L}^{-1}_{\mathrm{S}}$ à S^n (*voir* Lemme 1.2). Soit $\mathrm{S}' := q_{\mathrm{S}}(\mathrm{S}) \subset \mathrm{X}$ et soit $q_{\mathrm{S}^n} := q_{\mathrm{S}} \circ n$. Le fibré $\mathrm{L}_{\mathrm{S}^n}$ numériquement effectif et une courbe $\mathrm{C} \subset \mathrm{S}^n$ est contractée par q_{S^n} si et seulement si $\mathrm{L}_{\mathrm{S}^n} \cdot \mathrm{C} = 0$. Enfin, les

courbes tracées sur S^n et contractées par q_{S^n} sont horizontales relativement à $p_{\mathrm{S}^n} := p_{\mathrm{S}} \circ n$. Les hypothèses de la proposition 2.1 sont satisfaites. La surface $\mathrm{S}^n \longrightarrow \mathrm{B}$ est donc géométriquement réglée et $n^*\mathrm{L}_{\mathrm{S}} \cdot \mathrm{F} \in \{1, 2\}$, où F est une fibre générale de p_{S^n}.

1^{er} cas : $n^*\mathrm{L}_{\mathrm{S}} \cdot \mathrm{F} = 2$.−Le morphisme $q_{\mathrm{S}} \circ n$ est fini sur son image et le feuilletage $(\eta_n, n^*\mathrm{L}_{\mathrm{S}})$ sur S^n est régulier (*voir* Proposition 2.1). Supposons $\mathrm{Z}(\eta, \mathrm{L}) \neq \emptyset$ et supposons que $q_{\mathrm{S}}(\mathrm{S}) \cap \mathrm{Z}(\eta, \mathrm{L}) \neq \emptyset$. Le lieu singulier $\mathrm{Z}(\eta_{\mathrm{S}^n}, n^*\mathrm{L})$ alors non vide, puisque

$$n^{-1}((\mathrm{B} \times \mathrm{Z}(\eta, \mathrm{L})_{\mathrm{red}}) \cap \mathrm{S}) = n^{-1}(\mathrm{Z}(\eta_{\mathrm{S}}, \mathrm{L}_{\mathrm{S}})_{\mathrm{red}}) \subset \mathrm{Z}(\eta_{\mathrm{S}^n}, n^*\mathrm{L}_{\mathrm{S}})_{\mathrm{red}},$$

ce qui est absurde. Le feuilletage (η, L) est donc régulier.

Si X est une surface normale, le morphisme q_{Z} est birationnel et fini : c'est un isomorphisme.

$2^{\text{ème}}$ cas : $n^*\mathrm{L}_{\mathrm{S}} \cdot \mathrm{F} = 1$.−Les fibres du morphisme p_{Z} sont donc des courbes rationnelles irréductibles et génériquement réduites. Les fibres générales sont réduites et irréductibles.

Le lieu singulier $\mathrm{Z}(\eta_{\mathrm{S}^n}, n^*\mathrm{L})$ est irréductible de dimension 1 (*voir* Proposition 2.1) et contracté par q_{Z}. Les feuilles du feuilletage (η, L) passent donc par un point $x \in \mathrm{X}$. Supposons $\mathrm{Z}(\eta, \mathrm{L})_{\mathrm{red}} \neq \{x\}$ et soit $z \in \mathrm{Z}(\eta, \mathrm{L})_{\mathrm{red}}$ distinct de x. Supposons que $z \in q_{\mathrm{S}}(\mathrm{S})$. La proposition 2.1 nous permet de supposer que l'une des feuilles du feuilletage (η, L) paramétrées par B ne passe pas par z. Soit $b \in \mathrm{B}$ tel que $(b, z) \in \mathrm{S}$. Le point (b, z) est dans le lieu singulier $\mathrm{Z}(\eta_{\mathrm{S}}, \mathrm{L}_{\mathrm{S}})_{\mathrm{red}} = (\mathrm{B} \times \mathrm{Z}(\eta, \mathrm{L})_{\mathrm{red}}) \cap \mathrm{S}$ et, comme

$$n^{-1}(\mathrm{Z}(\eta_{\mathrm{S}}, \mathrm{L}_{\mathrm{S}})_{\mathrm{red}}) \subset \mathrm{Z}(\eta_{\mathrm{S}^n}, n^*\mathrm{L}_{\mathrm{S}})_{\mathrm{red}},$$

$n^{-1}(b, z) \subset \mathrm{Z}(\eta_{\mathrm{S}^n}, n^*\mathrm{L}_{\mathrm{S}})_{\mathrm{red}}$. Or, $\mathrm{Z}(\eta_{\mathrm{S}^n}, n^*\mathrm{L}_{\mathrm{S}})_{\mathrm{red}}$ est contracté par q_{S} sur le point x, ce qui est absurde. La remarque précédente ne sera pas utilisée par la suite.

Soit $\mathrm{Hom}_{\mathrm{bir}}(\mathbf{P}^1, \mathrm{X}, 0 \mapsto x)$ le schéma des morphismes birationnels de $\mathbf{P}^1$ vers X appliquant $0 \in \mathbf{P}^1$ sur $x \in \mathrm{X}$ et soit $\mathrm{Hom}^n_{\mathrm{bir}}(\mathbf{P}^1, \mathrm{X}, 0 \mapsto x)$ sa normalisation. Le sous-groupe linéaire $\mathrm{G} \subset \mathrm{PGL}(2)$ des automorphismes de $\mathbf{P}^1$ fixant 0 agit sur $\mathrm{Hom}^n_{\mathrm{bir}}(\mathbf{P}^1, \mathrm{X})$ et $\mathrm{Hom}^n_{\mathrm{bir}}(\mathbf{P}^1, \mathrm{X}, 0 \mapsto x) \times \mathbf{P}^1$. Les quotients géométriques au sens de Mumford existent et seront respectivement notés $\mathrm{RatCurves}^n(\mathrm{X}, x)$ et $\mathrm{Univ}^{rc}(\mathrm{X}, x)$ (*voir* [Ko96]).

Les feuilles du feuilletage (η, L) rencontrant l'ouvert $\mathrm{X}_{ns} \cap \mathrm{X}_r$ sont algébriquement équivalentes, par 4.6 par exemple, et l'une des composantes de $\mathrm{RatCurves}^n(\mathrm{X}, x)$, notée V, paramètre les fibres de p_{Z} au dessus d'un ouvert non vide de Y.

Le lemme de cassage de Mori entraîne d'une part que V est projective et d'autre part que le morphisme d'évaluation $\mathrm{U} := \mathrm{Univ}^{rc}(\mathrm{X}, x) \times_{\mathrm{RatCurves}^n(\mathrm{X}, x)} \mathrm{V} \longrightarrow \mathrm{X}$ est génériquement fini. Le point générique de V paramètre donc une feuille du feuilletage (η, L) et, par suite, le morphisme précédent est en fait birationnel. Soient p_{U} et q_{U} les morphismes naturels

$$\begin{array}{ccc} \mathrm{U} & \xrightarrow{q_{\mathrm{U}}} & \mathrm{X} \\ {\scriptstyle p_{\mathrm{U}}}\downarrow & & \\ \mathrm{V} & & \end{array}$$

Le morphisme p_{U} est lisse (*voir* [Ko96], Corollary II 2.12). Le point, au coeur de la preuve du lemme de cassage, est le résultat bien connu suivant. Si $p : \mathrm{S} \longrightarrow \mathrm{B}$ est une surface géométriquement réglée et $q : \mathrm{S} \longrightarrow \mathrm{S}'$ est un morphisme génériquement fini, il existe au plus une courbe, irréductible et réduite, tracée sur S, horizontale relativement à p et contractée par q. Les fibres du morphisme q_{U} sont connexes par le théorème de Zariski et, en particulier, les composantes irréductibles des fibres de q_{U} sont de dimension > 0. L'une des composantes de $\Sigma := q_{\mathrm{U}}^{-1}(x)$ est de codimension 1 dans U. On déduit de la remarque précédente, que le fermé Σ est irréductible de codimension 1 dans U, et que le morphisme q_{U} induit un isomorphisme de $\mathrm{U} - q_{\mathrm{U}}^{-1}(x)$ sur $\mathrm{X} - \{x\}$.

Soit $\mathrm{B} \subset \mathrm{V}$ est une courbe lisse générique. La surface $p_{\mathrm{U}}^{-1}(\mathrm{B})$ est la normalisation de son image S dans $\mathrm{B} \times \mathrm{X}$ et il existe un morphisme $\mathrm{B} \longrightarrow \mathrm{Y}$ tel que S s'identifie au produit fibré $\mathrm{Z} \times_{\mathrm{Y}} \mathrm{B}$. La trace de Σ sur la surface $p_{\mathrm{U}}^{-1}(\mathrm{B})$ est donc l'unique section de $p_{\mathrm{U}}^{-1}(\mathrm{B}) \longrightarrow \mathrm{B}$ contractée par q_{U} (*voir* Proposition 2.1). Le morphisme $\Sigma \longrightarrow \mathrm{V}$ induit par p_{U} est donc birationnel et fini, c'est un isomorphisme.

Soit $\mathrm{G} := {p_{\mathrm{U}}}_* \mathcal{O}_{\mathrm{U}}(\Sigma)$. Le schéma $\mathrm{U} \longrightarrow \mathrm{V}$ s'identifie au fibré projectif $\mathbf{P}_{\mathrm{V}}(\mathrm{G}) \longrightarrow \mathrm{V}$ et le fibré $\mathcal{O}_{\mathrm{U}}(\Sigma)$ au fibré tautologique $\mathcal{O}_{\mathrm{U}}(1)$. La section Σ de p_{U} correspond à un quotient inversible M de G sur U. Le fibré F est une extension de M par le fibré trivial $\mathcal{O}_{\mathrm{V}}$

$$0 \longrightarrow \mathcal{O}_{\mathrm{V}} \longrightarrow \mathrm{G} \longrightarrow \mathrm{M} \longrightarrow 0.$$

Soit α la classe dans $\mathrm{H}^1(\Sigma, \mathrm{M}^{-1})$ de cette extension. Le fibré $q_{\mathrm{U}}^* \mathrm{L}$ est de degré 1 sur les fibres de p_U et sa restriction à Σ est triviale. Il est donc isomorphe au fibré $\mathcal{O}_{\mathrm{U}}(1) \otimes p_{\mathrm{U}}^* \mathrm{M}^{-1}$.

Soit 2Σ le deuxième voisinage infinitésimal de Σ dans U. La classe du fibré $\mathcal{O}_{\mathrm{U}}(1) \otimes p_{\mathrm{U}}^* \mathrm{M}^{-1}$ dans $\mathrm{Pic}(2\Sigma) \simeq \mathrm{Pic}(\Sigma) \oplus \mathrm{H}^1(\Sigma, \mathrm{M}^{-1})$ est $(0, \alpha)$ (*voir* Lemme 3.3) d'une part et nulle d'autre part. L'extension définie par α est donc scindée et le morphisme q_U s'identifie à la contraction de la section de $\mathbf{P}_{\mathrm{V}}(\mathcal{O}_{\mathrm{V}} \oplus \mathrm{M}) \longrightarrow \mathrm{V}$ de fibré normal M^{-1}. La section de fibré normal trivial ne rencontre pas la section précédente, et le diviseur associé dans X, noté $\mathcal{O}_{\mathrm{X}}(\mathrm{V})$, s'identifie au fibré L. ■

Références

[BoMc01] F. A. Bogomolov, M. L. McQuillan, *Rational curves on foliated varieties*, Preprint, IHES, 2001.

[Bo01] J.-B. Bost, *Algebraic leaves of algebraic foliations over number fields*, Publ. Math. Inst. Hautes Études Sci. **93** (2001), 161-221.

[BuWa74] D. M. Burns, J. Wahl, *Local contributions to global deformations of surfaces*, Invent. Math. **26** (1974), 67-88.

[De01] O. Debarre, *Higher-dimensional algebraic geometry*, Universitext, Springer-Verlag, 2001.

[Ha70] R. Hartshorne, *Ample subvarieties of algebraic varieties*, Lecture Notes in Mathematics **156**, Springer-Verlag, 1970.

[Ha77] R. Hartshorne, *Algebraic Geometry*, Graduate Texts in Mathematics **52**, Springer-Verlag, 1977.

[Ko96] J. Kollár, *Rational curves on algebraic varieties*, Ergebnisse der Mathematik und ihre Grenzgebiete **32**, Springer-Verlag, 1996.

[Mi87] Y. Miyaoka, *Deformations of a morphism along a foliation and applications*, dans *Algebraic geometry-Bowdoin 1985*, Proc. Symp. Pure Math. **46-1**, 245-268, Amer. Math. Soc., Providence, RI, 1987.

[Sc00] S. Schröer, *On contractible curves on normal surfaces*, J. Reine. Angew. Math. **524** (2000), 1-15.

[Se66] A. Seidenberg, *Derivations and integral closure*, Pacific J. Math. **16** (1966), 167-173.

[Wa83] J. Wahl, *A cohomological characterization of* $\mathbf{P}^n$, Invent. Math. **72** (1983), 315-322.

Stéphane Druel, Institut Fourier, UMR 5582 du CNRS, Université Joseph Fourier, BP 74, 38402 Saint Martin d'Hères, France.
e-mail : druel@ujf-grenoble.fr